

Figura 9.10. Dirección de los vientos superficiales en los ciclones y anticiclones.

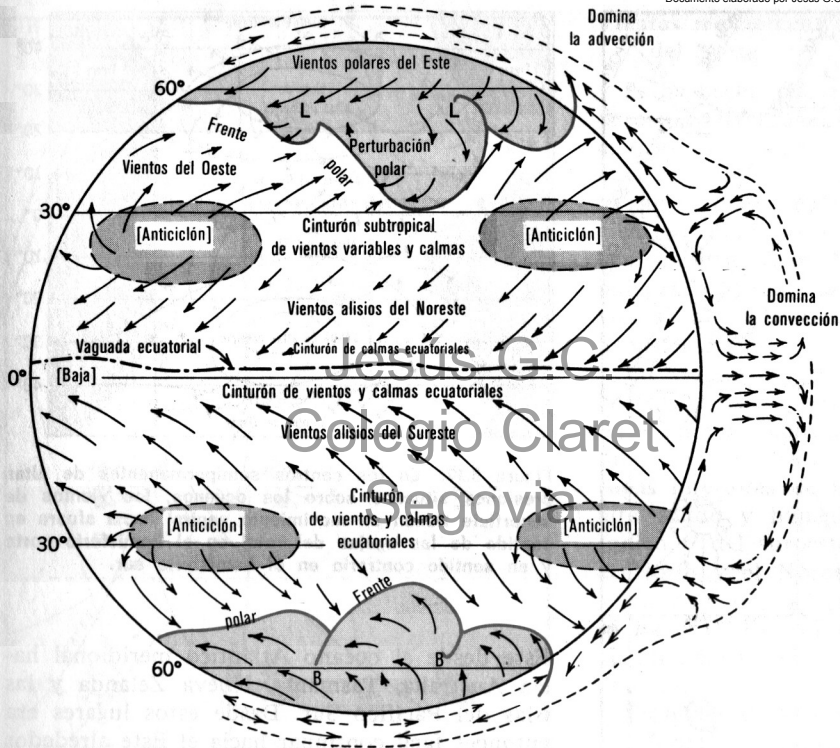


Figura 9.15. Esquema general de la circulación atmosférica representado sobre una proyección ortográfica ecuatorial.

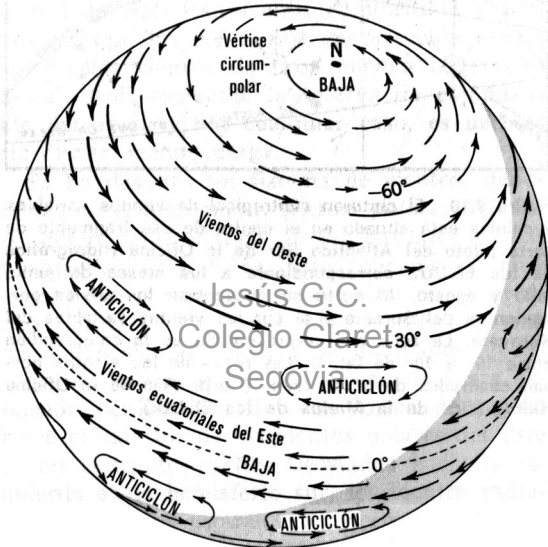
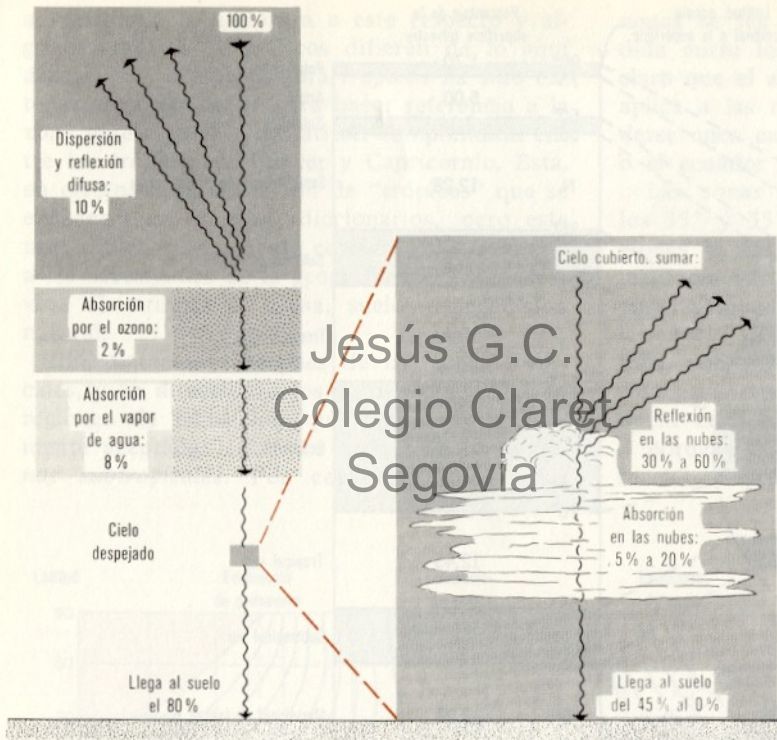


Figura 9.20. Esquema de la circulación en la parte superior de la troposfera (de 6000 a 12000 m de altura).



Jesús G.C.
Colegio Claret
Segovia

Figura 8.6. Las pérdidas de energía solar incidente por dispersión, reflexión y absorción dependen de las condiciones del cielo, según esté despejado o cubierto. (De A. N. Strahler, 1963, The Earth Sciences, Harper and Row, Nueva York.)

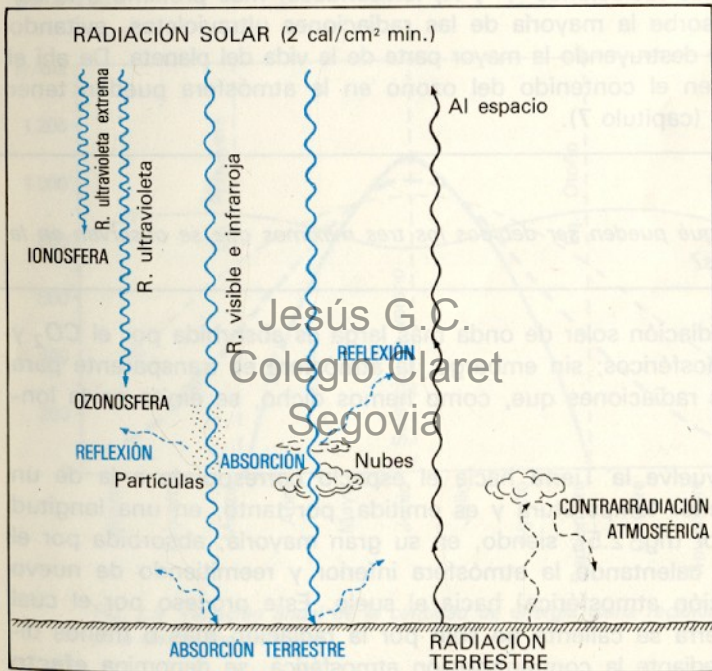


Fig. 2.4 Balance de la energía recibida por el Sol.

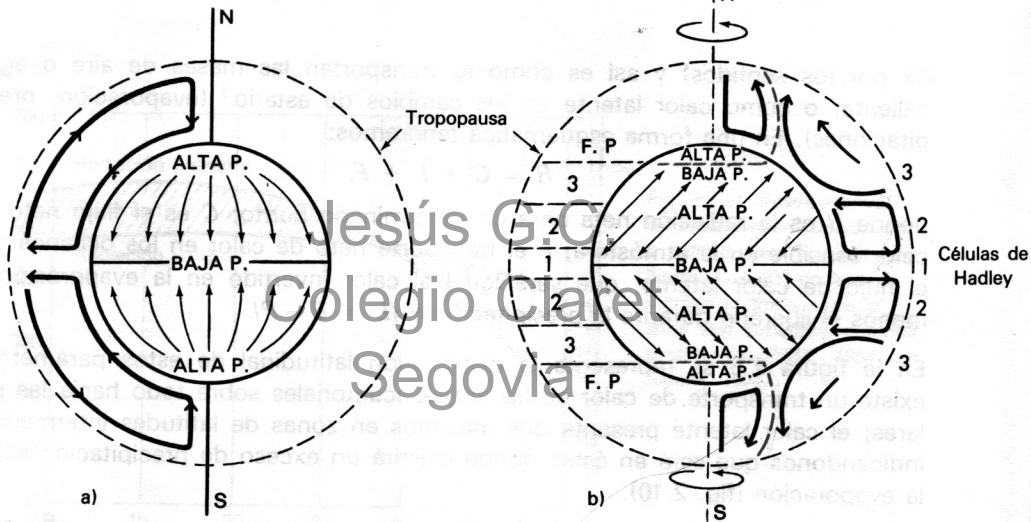
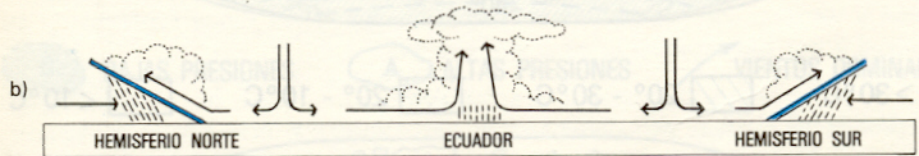
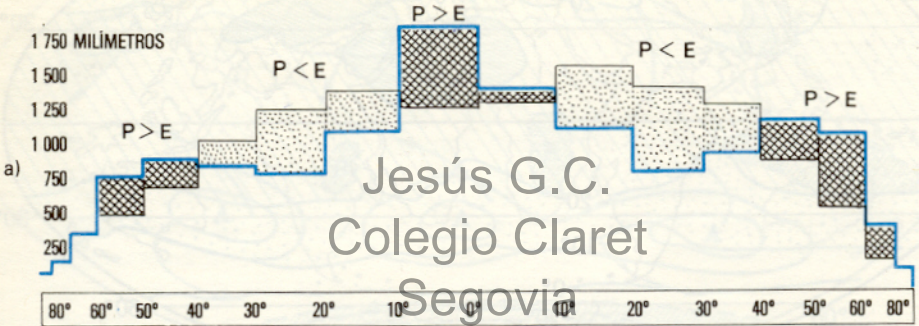


Fig. 2.10 Distribución de las precipitaciones y de la evaporación anual según la latitud: a) histograma de variación con el que se pone de manifiesto las zonas con déficit o superávit de evaporación y precipitación, y b) relación de esta distribución con el esquema de circulación atmosférica (en *Investiguemos la Tierra*. E.S.C.P.).



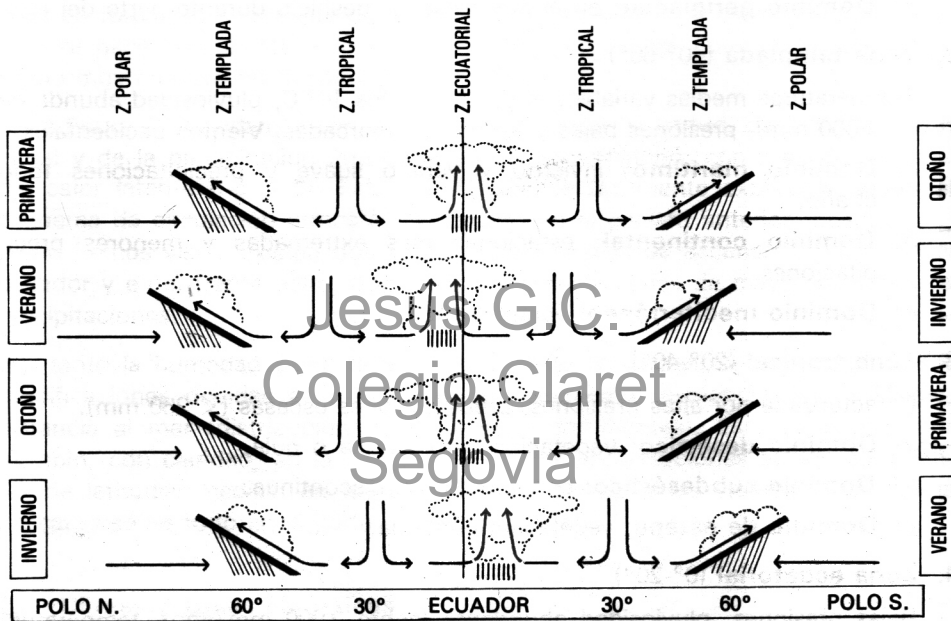


Fig. 2.12 Variación estacional de las zonas climáticas (en Investiguemos la Tierra, E.S.C.P.).

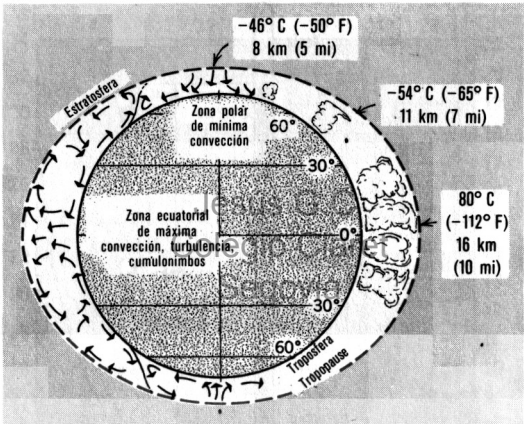


Figura 7.4. Sección esquemática de la troposfera. Los números indican la altura y temperatura de la tropopausa.

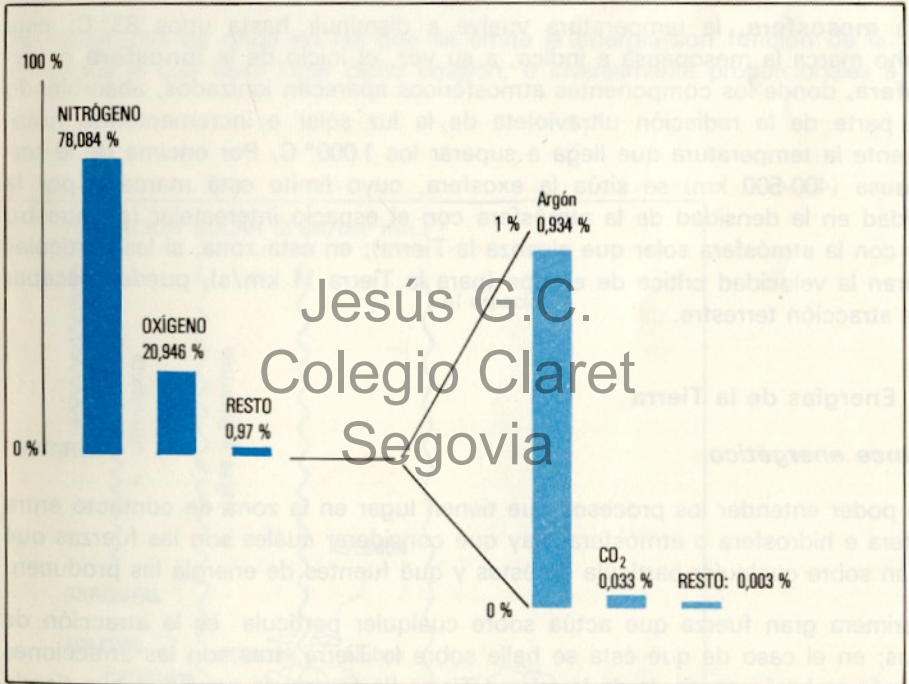


Fig. 2.3 *Composición media de la atmósfera inferior seca.*

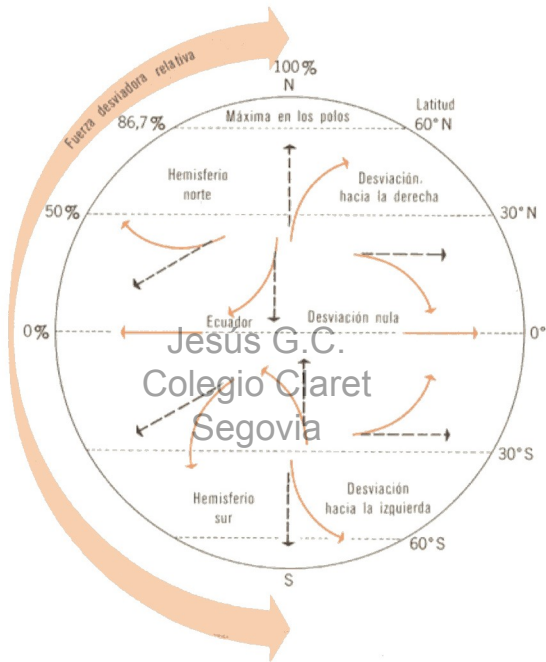


Figura 9.7. Fuerza desviadora producida por la rotación de la tierra.



Figura 9.8. En los niveles altos, el viento sigue las isobaras.

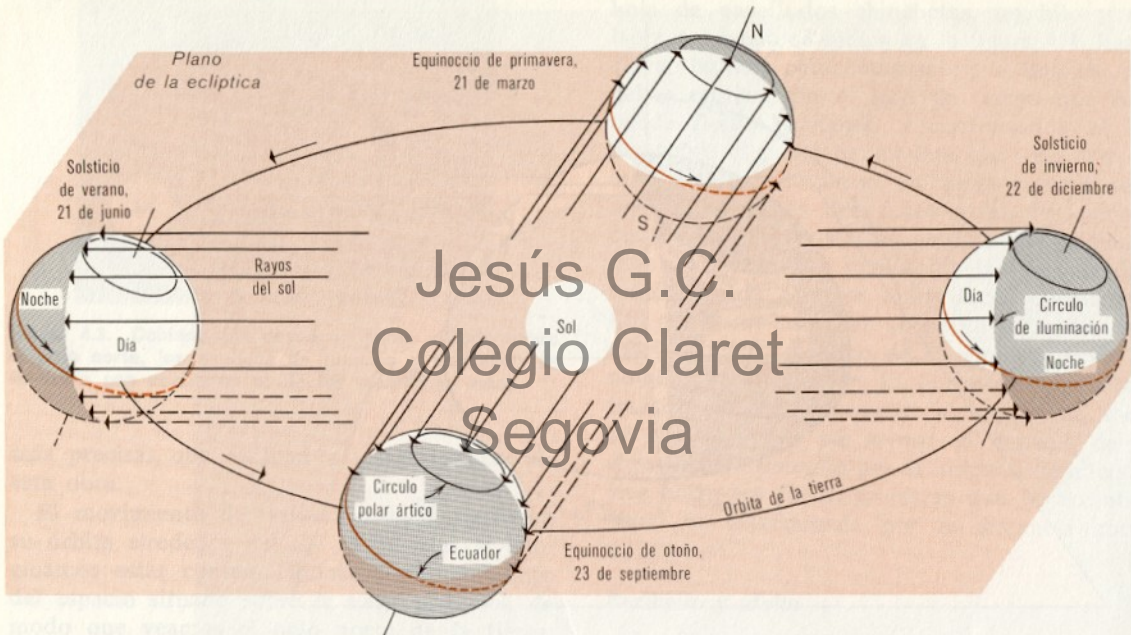


Figura 4.7. Las estaciones son una consecuencia de la inclinación constante del eje de la tierra.

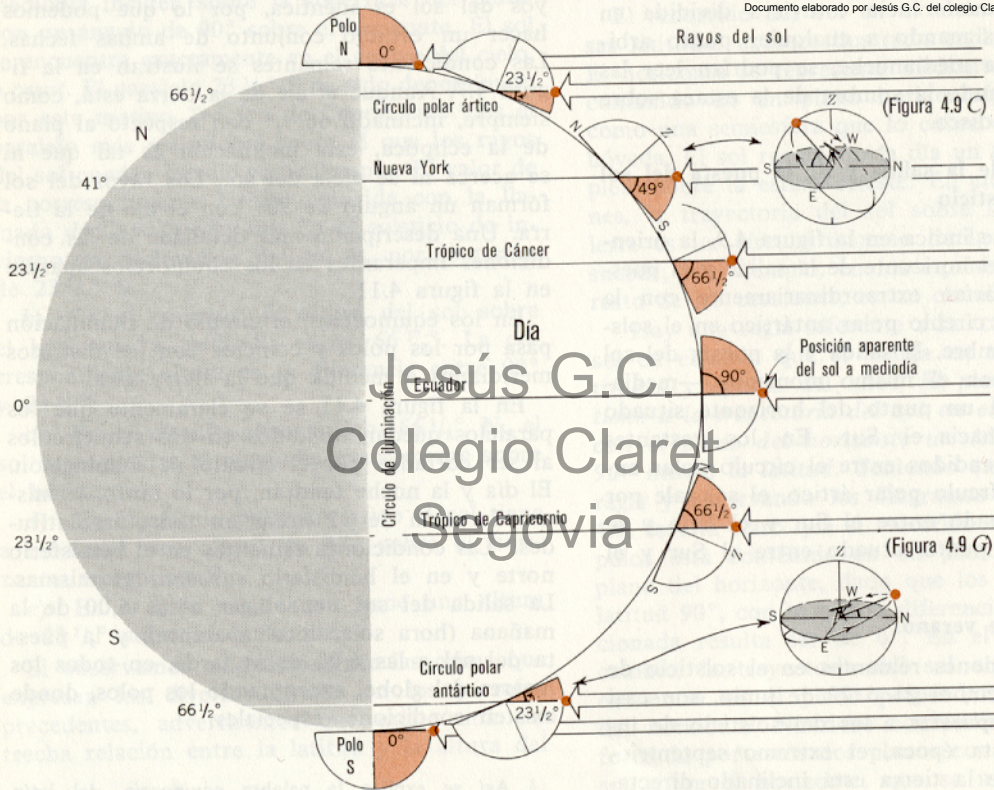


Figura 4.11. Equinoccio. (De A. N. Strahler, 1963, The Earth Sciences, Harper and Row, Inc., Nueva York.)

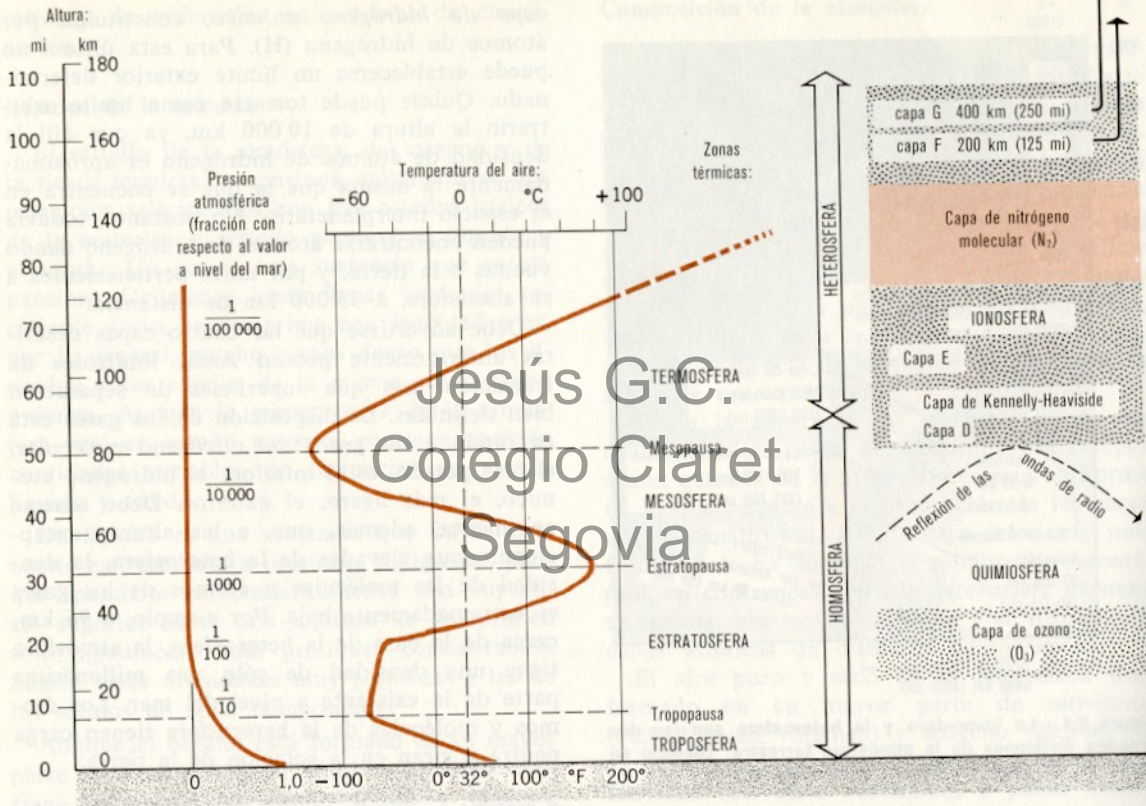


Figura 7.2. La estructura en capas de la atmósfera puede establecerse a partir de las temperaturas y de su composición y propiedades químicas. (De A. N. Strahler, 1963, The Earth Sciences, Harper and Row, Inc., Nueva York.)

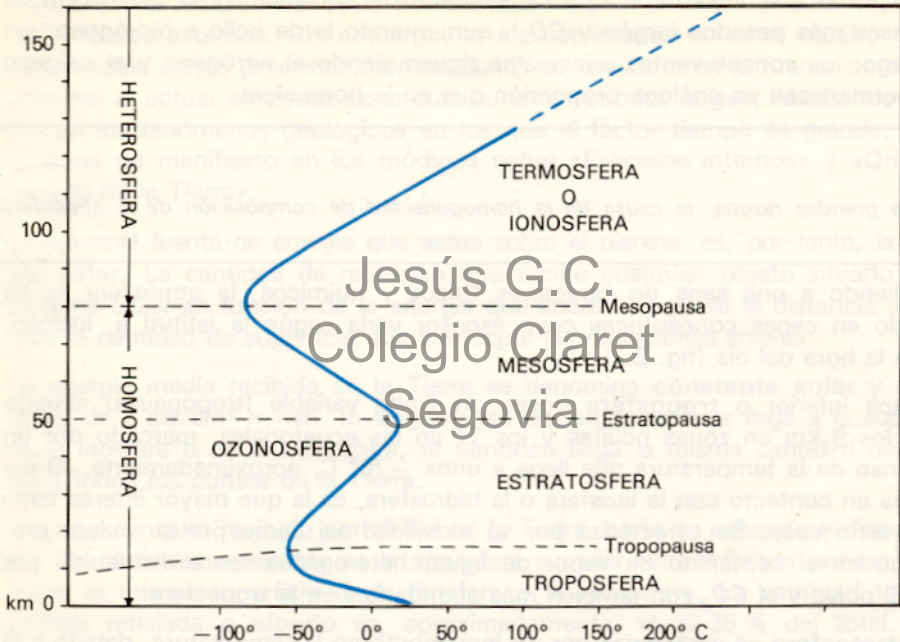


Fig. 2.2 Estructura de la atmósfera y variación de su temperatura con la altitud.

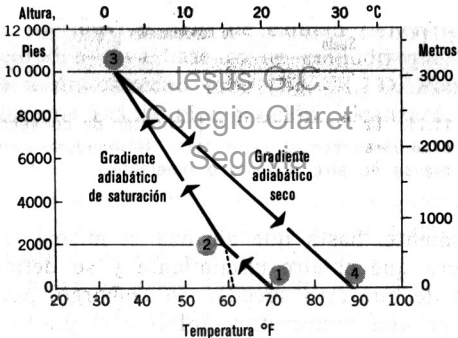
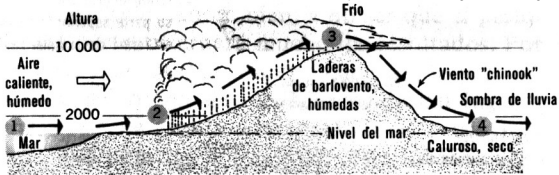
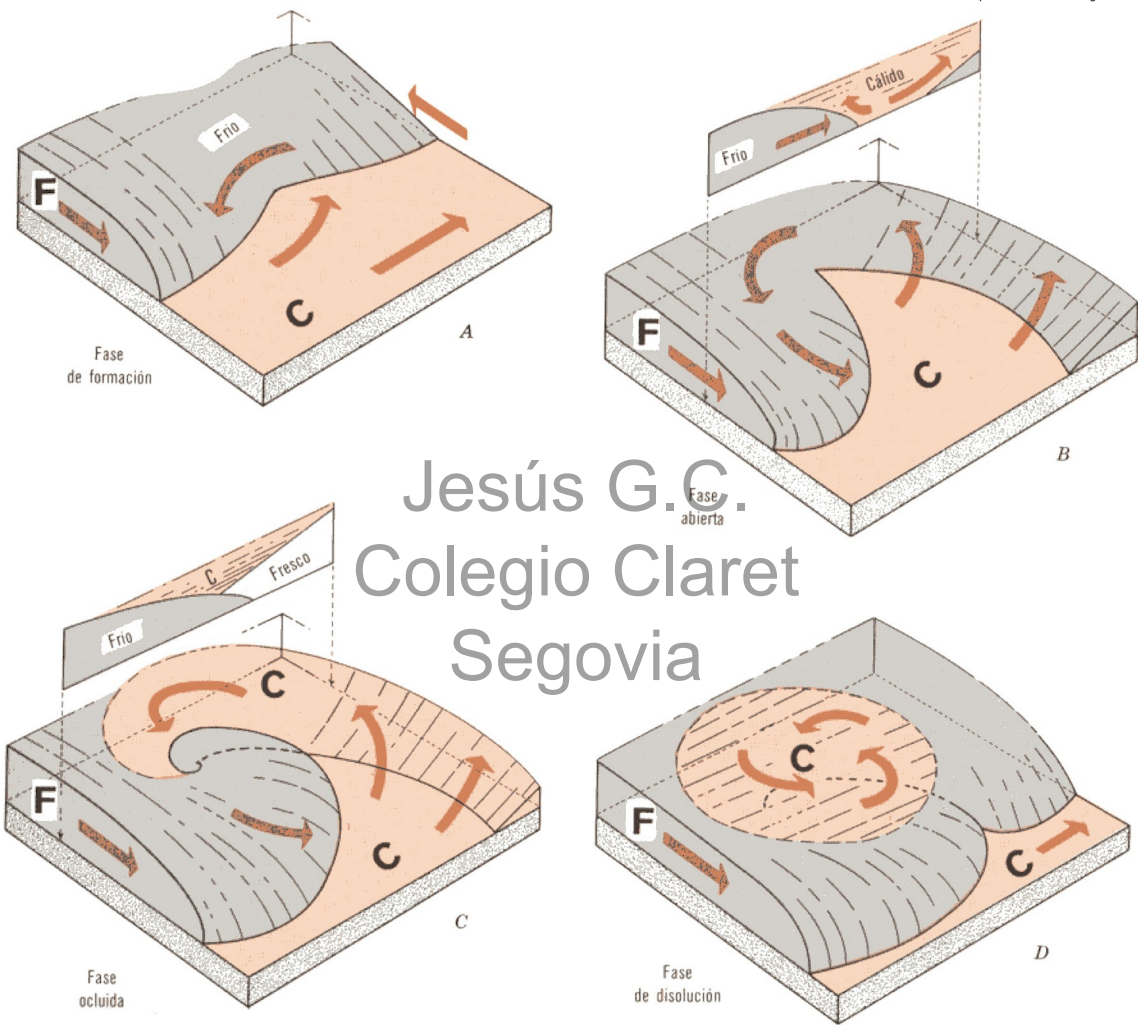


Figura 11.16. El ascenso forzado de las masas de aire oceánicas provoca lluvias intensas y desiertos de sombra de lluvia.



Jesús G.C.
Colegio Claret
Segovia

Figura 12.2. El desarrollo de una borrasca de las latitudes medias aparece representado aquí en cuatro fases.

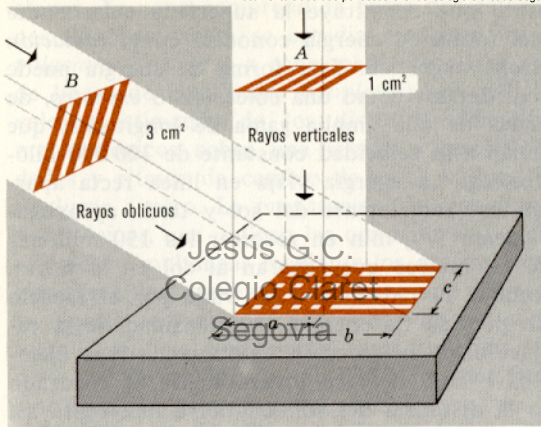


Figura 8.1. El ángulo de incidencia de los rayos solares determina la intensidad de insotación del suelo. Mientras que la energía de los rayos verticales A se concentra en el cuadrado a, la misma energía en los rayos oblicuos B se reparte sobre el rectángulo b.